© 2026 Arillatype.Studio, S.L.

At Magmæ

© 2026 Arillatype.Studio, S.L.

● **Magmæ is an industrial typeface forged at the Earth’s core** — Fluid, organic curves contrast with a mechanical digital skeleton. Soft outer contours meet structured, squared counters. Engineered for high functionality and precise performance, it captures a raw, inevitable energy, yet feels as grounded as bedrock.

The Magmæ family features 18 styles, from Air to Super with matching italics. It includes a wide set of stylistic alternates, symbols, arrows, and smart OpenType features. Full family purchases include variable fonts for complete flexibility.

Magmæ is available for customisation, language extensions, and bespoke licensing.

© 2026 Arillatype.Studio, S.L.

Font family

Air 100 *Air Italic* 100
Light 200 *Light Italic* 200
Retina 300 *Retina Italic* 300
Regular 400 *Regular Italic* 400
Medium 500 *Medium Italic* 500
Semibold 600 ***Semibold Italic*** 600
Bold 700 ***Bold Italic*** 700
Black 800 ***Black Italic*** 800
Super 900 ***Super Italic*** 900

Designer
Pedro Arilla

Version
1.0 (September 2026)

Character set
Latin Extended
200+ languages supported

Styles
18 fonts
9 upright + 9 italic

File formats
Desktop/App .otf
Web .woff, .woff2
Variable .ttf, .woff, .woff2

© 2026 Arillatype.Studio, S.L.

Lowercase o
Bold [700]
U+006F

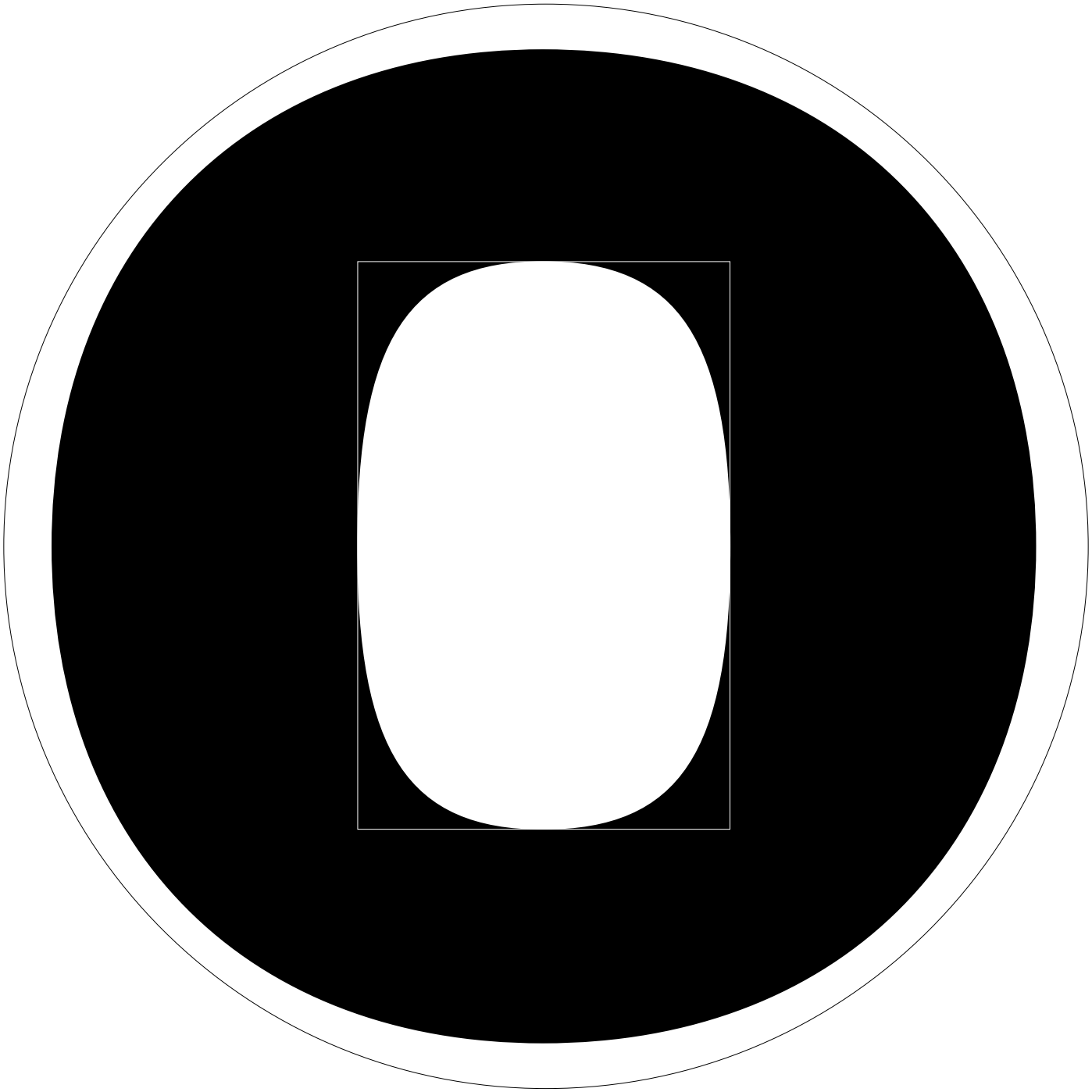

© 2026 Arillatype.Studio, S.L.

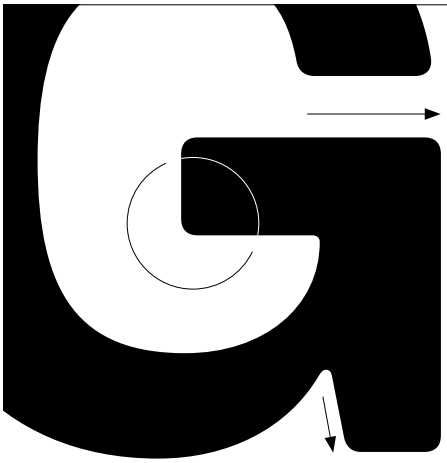

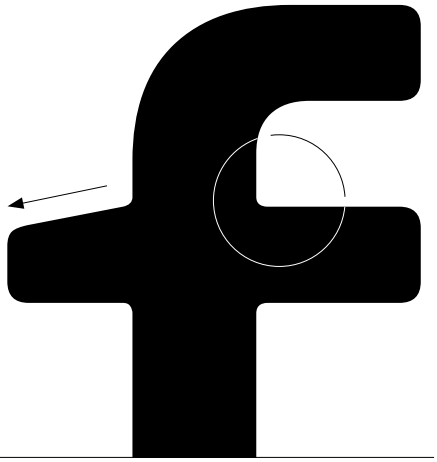

Digital structure
Cartesian grid construction and flat stroke endings reinforce its technical, intelligent voice.

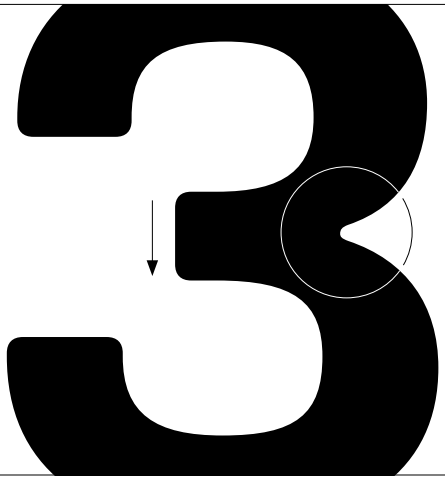

Organic mould
Soft corners and rounded junctions are the result of an industrial forge process at the Earth's core.

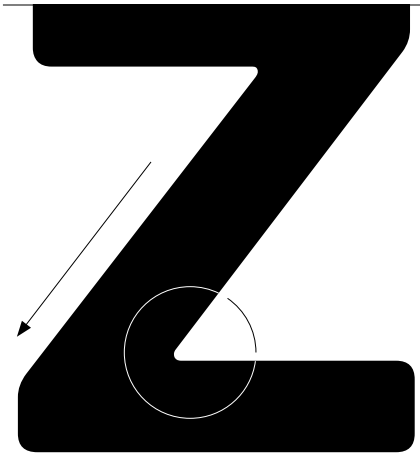

Sharply engineered
Crafted for high functionality and precise performance, it renders flawlessly on screen.

Hybrid skeleton
Round, natural outer contours combine and contrast with mechanical, squared inner counters.

© 2026 Arillatype.Studio, S.L.

K		ñ
	s	
4		?
	&	

© 2026 Arillatype.Studio, S.L.

Air
Weight 100
Size 128 pt
Track -25 ‰

Askflöde

Light
Weight 200
Size 128 pt
Track -25 ‰

Tryckfall

Retina
Weight 300
Size 128 pt
Track -25 ‰

Brocken

Regular
Weight 400
Size 128 pt
Track -25 ‰

Rhyolite

Medium
Weight 500
Size 128 pt
Track -25 ‰

Skölden

© 2026 Arillatype.Studio, S.L.

Semibold
Weight 600
Size 128 pt
Track -25 ‰

Cratère

Bold
Weight 700
Size 128 pt
Track -25 ‰

Askfält

Black
Weight 800
Size 128 pt
Track -25 ‰

Kuppel

Super
Weight 900
Size 128 pt
Track -25 ‰

Volcán

© 2026 Arillatype.Studio, S.L.

Air
Weight 100
Size 64 pt
Track -15 ‰

Centrifugálöntés

Light
Weight 200
Size 64 pt
Track -15 ‰

Géomorphologie

Retina
Weight 300
Size 64 pt
Track -15 ‰

Elektrodinnehåll

Regular
Weight 400
Size 64 pt
Track -15 ‰

Geofysikaalinen

Medium
Weight 500
Size 64 pt
Track -15 ‰
→ [ss01] alt. a
→ [ss03] alt. i

Wolframkarbid

Semibold
Weight 600
Size 64 pt
Track -15 ‰

Kylmävalssaus

Bold
Weight 700
Size 64 pt
Track -15 ‰

Geocronología

Black
Weight 800
Size 64 pt
Track -15 ‰
→ [ss01] alt. a

Stratigraphie

Super
Weight 900
Size 64 pt
Track -15 ‰

Deepdrawing

© 2026 Arillatype.Studio, S.L.

Air
Weight 100
16 / 18 pt
Track 0 ‰

→ [onum]
Oldstyle figures

Að baki hinu mikilvæga ári 1911, þegar skáldstaður *Snæfellsjökuls* varð öllum kunnur, hefur þetta 1 446 m háa stratóeldfjall mótað Vesturland í þúsundir ára. Eftir síðasta gos fyrir um 1 800 árum (með umtalsverðu hraunrennsli) varð jökullinn táknmynd í skáldsögu Jules Verne frá 1864. Í dag stendur þetta einstaka náttúruvé fyrir framan nýjar áskoranir — þar semísinn minnkar hratt & breytir ásýnd svæðisins fyrir fullt og allt.

Light
Weight 200
16 / 18 pt
Track 0 ‰

L'Etna —situato sulla costa orientale della Sicilia (presso Catania)— è il vulcano attivo più alto d'Europa, con un'altezza di circa 3 357 metri. La sua attività eruttiva risale a oltre 500 000 anni fa; oggi copre un'area di circa 1 190 km² ed è monitorata con estrema precisione. Noto fin dall'antichità come *Mongibello*, il tracciato delle sue colate rappresenta un patrimonio unico (UNESCO, 2013).

Retina
Weight 300
16 / 18 pt
Track 0 ‰

Pada bulan Agustus 1883, ledakan dahsyat *Krakatau* menguncang Selat Sunda dan memicu tsunami setinggi 40 meter. Peristiwa alami ini menewaskan lebih dari 36 000 jiwa —sebuah bencana global yang menurunkan suhu bumi hingga 1,2 °C. Kini, anak gunungnya (*Anak Krakatau*) terus tumbuh sekitar 13% per dekade, memperlihatkan kekuatan geologi yang aktif di kawasan *Ring of Fire*.

Regular
Weight 400
16 / 18 pt
Track 0 ‰

→ [onum]
Oldstyle figures

Ubicado en la isla de Tenerife (Canarias, España), el Teide es un estratovolcano activo de 3 715 m sobre el nivel del mar, lo que lo convierte en el pico más alto del país y el tercer volcán más grande del mundo desde su base oceánica. Declarado Patrimonio de la Humanidad por la UNESCO en 2007, su área protegida (*Parque Nacional del Teide*) abarca unos 189,9 km² de paisaje volcánico.

Medium
Weight 500
16 / 18 pt
Track 0 ‰

→ [ss04] alt. I

Īpan 5 230 m nehnemiliztli, in *Iztāccihuātl* —in mācehualtin quitōcāitiāh *Iztāc Cihuātl*— tlatēctli īpan Mexihco: inīc 2ª tepētl hueyic. Inīc nēyōlocāyōtl, quipiya yeī tepētzintli (tzontli, cuēitl, xocoyotl); ahmo quipiya in cēuhca achto 18,5% īpan tepēitl. Āxcān, īhuīcpa 1521 xihuitl, in ātepētl Iztaccíhuatl tlahuelītiya tlen quichīhua in tepēcuahuitl "Popocatépetl" īhuān mixpēhua.

© 2026 Arillatype.Studio, S.L.

Semibold
Weight 600
16 / 18 pt
Track 0 ‰

Élevé à 3 470 m d'altitude, *le mont Nyiragongo* abrite un lac de lave permanent — phénomène rarissime représentant environ 120 000 m² de matière en fusion. Sa lave basaltique (pauvre en silice) s'écoule parfois à plus de 60 km/h vers la ville de Goma. L'activité sismique y reste suivie de près par les volcanologues (via l'OVP) & les autorités.

Bold
Weight 700
16 / 18 pt
Track 0 ‰

→ [onum]
Oldstyle figures

As ash clouds rise above Kagoshima Bay, *Sakurajima* reminds Japan of its restless geology. Once an island until the massive 1914 Taisho eruption reconnected it to the Osumi Peninsula via lava flows, this active stratovolcano remains monitored daily — with thousands of minor explosions occurring each decade (& nearby citizens always prepared).

Black
Weight 800
16 / 18 pt
Track 0 ‰

Quid latet sub umbra *Montis Vesuvi*? Hic crater [1 281 m] minans super sinum Neapolitanum imminet. Anno 79 p.Ch.n. Pompeios delevit; hodie tamen periculosis motibus observatur → pyroclasti (±500 °C) vicina rursus minantur § 12-A. Num gentes paratae sunt? Cursus fati manet, dum OVP[1] caelum cineresque usque ad 100% metitur.

Super
Weight 900
16 / 18 pt
Track 0 ‰

Am 13. November 1985 schmolz das ewige Eis am *Nevado del Ruiz* schlagartig. Eine explosive Eruption setzte gewaltige Schlammströme frei; Armero versank binnen Minuten unter den Massen (mehr als 23 000 Tote). Bis heute zeugen die ruhenden Gletscher auf 5 321 m von dieser Naturkatastrophe im Kordillerenraum.

© 2026 Arillatype.Studio, S.L.

Light + Italics Weight 200 9 / 12 pt [ss01] alt. a; [ss02] alt. f; [s003] alt. i Track 0 ‰

Em 1856, o inventor britânico *Henry Bessemer* patenteou um processo revolucionário que alterou para sempre a produção industrial no mundo moderno. Antes dessa inovação técnica, a transformação de ferro fundido em aço exigia semanas de trabalho árduo e consumia quantidades elevadas de combustível. O novo método permitiu *a purificação do metal em poucos minutos através da injeção de ar*, reduzindo drasticamente os custos e multiplicando a capacidade de fabricação em escala global.
Durante a segunda metade do século 19, a expansão das ferrovias na Europa e na América do Norte consolidou o papel central desta liga metálica. Em 1878, o engenheiro Sidney *Gilchrist Thomas* aperfeiçoou o sistema ao introduzir um revestimento básico no convertidor, tornando possível o processamento de minérios com alto teor de *fósforo*. Esse avanço abriu caminho para a industrialização massiva em regiões como a Alemanha e a França.
A transição para o século 20 trouxe a introdução do forno elétrico de arco, desenvolvido por *Paul Héroult* em 1900. Essa tecnologia permitiu um controlo rigoroso da composição química, viabilizando a criação de aços especiais e inoxidáveis nas décadas seguintes. O impacto do metal na arquitetura urbana e na engenharia civil permanece como um dos pilares da transformação tecnológica contemporânea.

Light+ Italics
Weight 200
6 / 9 pt
Track +20 ‰

→ [onum]
Oldstyle figures

Le 23 avril 1863 marque la naissance de *Paul Héroult* à Thury-Harcourt — une petite commune située dans le département du Calvados — où son père gérait une tannerie artisanale. Dès son plus jeune âge, le futur inventeur français manifeste une curiosité insatiable pour les sciences appliquées et la transformation de la matière. Après avoir lu l'ouvrage fondateur de *Henri Sainte-Claire Deville* sur l'aluminium en 1881, Héroult décide de consacrer l'essentiel de sa carrière à la recherche électrochimique et à l'innovation métallurgique.
En 1886, alors qu'il n'est âgé que de 23 ans, Héroult dépose le brevet d'une méthode révolutionnaire: la production d'aluminium par électrolyse de l'alumine dissolte dans la cryolithe fondue à haute température (environ 950 °C). Curieusement, au cours de cette même année 1886, l'ingénieur américain *Charles Martin Hall* découvre de manière totalement indépendante un procédé similaire aux États-Unis. Cette coïncidence historique majeure donne naissance au célèbre «procédé Hall-Héroult», une avancée technique majeure qui transforme l'économie mondiale en abaissant le coût de fabrication de ce métal précieux de plus de 80%.
Après le succès retentissant de l'aluminium, le chercheur normand oriente ses travaux vers la métallurgie du fer.
En 1900, Héroult met au point le *four électrique* à arc destiné à la fusion de l'acier. Cette invention permet un contrôle exceptionnel de la température et de la composition chimique des métaux — un progrès indispensable pour la fabrication industrielle d'aciers spéciaux et d'alliages de haute performance. En 1905, son système moderne commence à s'implanter dans les plus grands complexes sidérurgiques en Europe et en Amérique du Nord.
Tout au long de son parcours professionnel, Héroult voyage fréquemment entre la France, l'Allemagne et les États-Unis afin de superviser l'application industrielle de ses brevets & de conseiller diverses sociétés d'ingénierie. *Ses contributions scientifiques lui valent la reconnaissance de ses pairs ainsi que la Légion d'honneur en 1904.*
Il s'éteint prématurément le 9 mai 1914 à l'âge de 51 ans à bord de son yacht au large d'Antibes. Plus d'un siècle après sa disparition, les principes électrométallurgiques conçus par Paul Héroult demeurent le socle fondamental de la production mondiale d'aluminium, témoignant de la portée exceptionnelle de ses découvertes.

Retina + Italics Weight 300 9 / 12 pt Track 0 ‰

Im Kontext der Exilliteratur und der soziopolitischen Dokumentarprosa nimmt *La forja de un rebelde* (deutsch: *Die Schmiede eines Rebellen*) eine herausragende Stellung ein. Das monumentale autogene Werk von Arturo Barea — verfasst während der dunklen Jahre des Spanischen Bürgerkriegs sowie des anschließenden Exils in England — analysiert die gesellschaftliche Zerklüftung Spaniens im ersten Drittel des 20. Jahrhunderts. Durch eine vielschichtige Strukturierung, die autobiografische Elemente mit einer akribischen Analyse der Machtverhältnisse verwebt, gelingt dem Autor eine eindrucksvolle Rekonstruktion der Klassenunterschiede (insbesondere der Kontraste zwischen der prekären Arbeiterschicht Madrids und der herrschenden Elite). Barea nutzt den Begriff der *autobiografía colectiva*, um das individuelle Schicksal als Parabel für eine kollektive historische Tragödie verständlich zu machen. Die Trilogie gliedert sich in drei Abschnitte — *La forja*, *La ruta* und *La llama* —, die den beschwerlichen Weg von der Kindheit über den verheerenden Rifkrieg in Marokko bis hin zur Belagerung von Madrid nachzeichnen. Statistischen Schätzungen zufolge spiegelt die Abhandlung die Realität von mehr als 35,5% der damaligen Bevölkerung wider; eine Zahl, die das sozioökonomische Ungleichgewicht jener Epoche verdeutlicht. Das Manuskript bleibt ein Dokument zum *Homo hispanicus*.

Retina + Italics
Weight 300
6 / 9 pt
Track +20 ‰

On 9 May 1950, French Foreign Minister Robert Schuman presented a landmark proposal that would forever alter the geopolitics of postwar Western Europe. The declaration laid the groundwork for the Treaty of Paris — signed on 18 April 1951 — which officially established the European Coal and Steel Community (ECSC, or *Communauté européenne du charbon et de l'acier*). Conceived as a strategic supranational mechanism to prevent future military conflicts between historic rivals, the organization placed heavy industrial resources under a unified, independent stewardship known as the High Authority.
Led initially by Jean Monnet, its primary architect, the ECSC brought six founding nations together: France, West Germany, Italy, Belgium, the Netherlands, and Luxembourg. By pooling steel production and coal mining across these member states, the treaty dismantled national tariffs, quota restrictions, and discriminatory transit charges. Between 1952 and 1958, industrial output rose significantly: crude steel production within the six signatory countries expanded by over 42%, while cross-border trade in coal increased by more than 21%.
The structural framework of the ECSC comprised four main institutions: the High Authority, a Special Council of Ministers, a Common Assembly, and a Court of Justice.This four-pillar architecture served as the direct precursor to the modern European Union, pioneering a balance between intergovernmental oversight and supranational governance. During the crisis of 1958–1959, when oil imports began to challenge coal's supremacy in the energy sector, the Common Assembly (§ 3–5) demonstrated the durability of these early cooperative institutions. When the Treaty of Paris expired on 23 July 2002 after its intended 50-year term, the ECSC's remaining financial assets and administrative responsibilities were fully integrated into the European Community.The treaty didn't merely rebuild war-torn heavy industries; it established the institutional framework, legal precedent, and diplomatic trust that enabled broader integration, leading directly to the Treaty of Rome in 1957. Today, historians regard the establishment of the ECSC as the crucial catalyst that ushered in Europe's longest period of uninterrupted internal peace.

© 2026 Arillatype.Studio, S.L.

Regular + Italics Weight 400 9 / 12 pt [ss01] alt. a; [ss02] alt. f; [s003] alt. i Track 0 ‰

In de metallurgische analyse vormt staal — een legering die voornamelijk uit ijzer en koolstof bestaat — de hoeksteen van de moderne constructieleer. Het koolstofgehalte, dat doorgaans varieert van 0,05% tot circa 2,1% van het totale gewicht, bepaalt in hoge mate de mechanische eigenschappen van het materiaal (zoals de treksterkte en de hardheid). Bij de transformatie van austeniet naar martensiet tijdens een snelle afkoeling — het zogenaamde *schrikken of quenchen* — verandert de kristallijne roosterstructuur ingrijpend; dit proces beïnvloedt zowel de elasticiteitsmodus als de plastische vervormbaarheid. Naast koolstof spelen aanvullende legeringselementen een doorslaggevende rol in de fysische chemie van het metaal. De toevoeging van chroom (minstens 10,5% voor roestvast staal) induceert een passiverende oxidehuid die corrosie voorkomt, terwijl nikkel de taaiheid bij lage temperaturen verhoogt. Andere elementen — waaronder mangaan, molybdeen & vanadium — worden in specifieke verhoudingen toegevoegd om de korrelgrenzen te verfijnen en de slijtvasheid te maximaliseren. Met name in de structurele thermodynamica vereist de fasediagramanalyse (*Fe-Fe₃C*) een nauwkeurige controle over het koelproces: kleine afwijkingen van ±2 °C kunnen de microstructuur al veranderen van perliet naar bajoniet. Dit evenwicht vormt de kern van het metallurgisch onderzoek.

Regular + Italics
Weight 400
6 / 9,5 pt
Track +20 ‰

I rith na meánaoise déanaí agus go háirithe ó thús an aois *XIX*, bhí claochlú mór ar thionscal an mhiotail ar fud na hEorpa: ba é athrú chomhdhéanamh na cruaiche gné lárnach an dul chun cinn sin. Is cóimhiotal í an chruach a dhéantar go príomha as iarann agus carbón (de ghnáth idir 0,02% agus 2,14% de réir meáchain), ach ba mhinic a bhí torthaí míchothroma ag na seancheardaithe mar gheall ar neamhníde éagsúla sa phróiseas leáite. Roimh lár na 1850í, ba mhór an dúshlán é rialú beacht a dhéanamh ar an méid carbóin i meascáin iarainn, rud a d'fhág go raibh an t-ábhar tréan go leor ach suite faoi bhaol brittle a bhriseadh gan rabhadh faoi ualach trom. I rith na blianta 1855–1856, d'athraigh an ceaparthóir Sasanach Henry Bessemer cúrsa na staire nuair a phaitinnigh sé a thiontaire cáiliúil; tríd an aer a shéideadh tríd an iarann leachtach, d'éirigh leis an iomarca carbóin a bhaint amach go tapaidh & go saor. Laghdaigh an próiseas seo costas táirgthe na cruaiche de thart ar 80%, rud a spreag fás an uafáis i dtógáil na n-iarnród ar fud an domhain mhóir. Mar sin féin, bhí deacrachtaí fós ann leis an bhfosphar agus leis an tsulfar —neamhníde a chuir isteach ar cháilíocht an mhianra— go dtí gur fhorbair Sidney Gilchrist Thomas agus a chol ceathrar próiseas ailcaileach nua sa bhliain 1878.
Gné eile a mhúnlaigh forbairt na tionsclaíochta ab ea cur chun cinn an fhoirnéise *Martin-Siemens* («próiseas an átha») i 1864, a cheadaigh rialú docht ar chomhdhéanamh ceimiceach an mhiotail trí athchúrsáil a dhéanamh ar shean-iarann. Nuair a cuireadh dúile breise le comhdhéanamh na cruaiche —amhail mangainéis, sileacain, nicil & cróm— tháinig feabhas mór ar a neart & ar a marthanacht in aghaidh creimthe san atmasféar. Sna blianta tosaigh den fichiú haois (go háirithe idir 1912 agus 1914), d'aithin an cheimiceoir Briotanach Harry Brearley agus taighdeoirí i saotharlanna Krupp in Essen luach an chróim nuair a chruthaigh siad na céad cóimhiotail do-mheasctha (*Edelstahl* nó cruach dhosmálta). Ó fhoirgnimh arda Chicago (1890–1910) go dtí droichid mhóra fharscánta na Ré Tionsclaíche, bhí tionchar doimhin ag micreastruchtúr agus ag neart inmheánach na cruaiche ar leathnú na cathrach nua-aimseartha, rud a léiríonn ar bhealach glan soiléir an dóigh a cheangail eolaíocht na miotal le riachtanais phraiticiúla an duine i rith na gcéadta bliain.

Medium + Italics Weight 500 9 / 12 pt [onum] Oldstyle figures Track 0 ‰

En el marc de la teogonia hel·lènica —des dels primers cants d'Hesíode cap al segle VIII a.C.—, la figura de la divinitat de la metal·lúrgia emergeix com un contrast fascinant respecte a la perfecció canònica de l'Olimp. Nascut segons certes tradicions de la sola gestació d'Hera, Hefest («l'artesà diví») fou rebutjat des del seu origen a causa d'una coixesa congènita; un defecte físic que, tanmateix, no li impedia dominar el foc subterrani i la manipulació de la matèria. La seva expulsió cap a l'illa de Lemnos —on la població local dels sintis el va acollir— marca l'inici d'una tradició artesanal que perduraria durant segles. Cap al 560 a.C., la producció de ceràmica d'atracció àtica ja representava de manera recurrent el seu retorn triomfal a la seu dels déus, un episodi clau en la iconografia antiga. Equipat amb la seva maça i les tenalles, l'artesà celestial no només va forjar l'escut d'Aquil·les —descrit amb detall al cant XVIII de la *Ilíada*—, sinó que també va dissenyar les cadenes d'acer de Prometeu i el tron daurat que va empresonar la seva pròpia mare. Segons els registres arqueològics, el seu culte principal a Atenes es va consolidar al segle V a.C. amb la construcció del seu temple (el *Hefesteu*), situat a l'àgora sobre el turó d'Agoraios Kolonos. Aquest monument, conservat en un 90% de la seva estructura original, testimonia la veneració dels grecs vers la tècnica (*techne*) i el treball manual.

Medium + Italics
Weight 500
6 / 9,5 pt
Track +20 ‰

**W dyskursie helenistycznym mitologię grecką — definiowaną nie jako prosty zbiór naiwnych narracji, lecz jako kompleksowy, wielowarstwowy system epistemologiczny (*mythos*) — traktuje się jako fundamentalny kod matrycowy całej kultury europejskiej. Analiza strukturalna dzieł Hezjoda (*Teogonia*) oraz Homera ujawnia, że greckie uniwersum mityczne opierało się na swoistej dialektyce ładu (*kosmos*) i pierwotnej bezpostaciowości (*chaos*). Paradygmat ten, przenikający zarówno archaiczne rytuały sakralne, jak i klasyczną metafizykę, posługiwał się personifikacją jako złożonym narzędziem kategoryzacji zjawisk fizycznych, społecznych oraz psychologicznych. Badania nad hermeneutyką przekazów tradycyjnych wskazują, że około 68,5% zachowanych tekstów spełniało bezpośrednią funkcję etiopatologiczną, sankcjonując istniejący porządek polis oraz uniwersalne normy etyczne. Kluczowym elementem owej architektoniki pojęciowej była koncepcja *hybris* — pychy manifestującej się w przekroczeniu granic przypisanych śmiertelnikom — stanowiąca ontologiczny punkt wyjścia dla klasycznej tragedii (*dramatis personae*). W tym ujęciu przeznaczenie (*moira*) nie było jedynie arbitralną kapryśnością olimpijczyków, lecz immanentnym, bezwzględnym prawem kosmicznej równowagi, od którego nie mogły uchylić się nawet bóstwa wyższego rzędu.
Ewolucja owych struktur pojęciowych — rozciągająca się od epoki mykeńskiej (ok. 1600–1100 p.n.e.) aż po zmierzch okresu hellenistycznego — wykazywała wyrazistą tendencję do alegoryzacji i racjonalizacji. Proces dekonstrukcji mitycznego światopoglądu, zapoczątkowany przez presokratyków w VI wieku p.n.e., doprowadził do wykształcenia pojęcia *logos*, co jednak nie oznaczało całkowitego wyparcia myślenia symbolicznego z przestrzeni publicznej. Współczesna filologia klasyczna oraz kulturoznawstwo podkreślają, że mityczne archetypy (*puer aeternus & anima*) przetrwały w zachodniej świadomości zbiorowej, stanowiąc kluczowy aparat badawczy dla psychoanalizy oraz nowożytnej teorii literatury. Fenomen ten potwierdza powszechną tezę, iż mit nie jest jedynie historycznym reliktem przeszłości, lecz wiecznie żywym językiem uniwersalnych doświadczeń egzystencjalnych.**

© 2026 Arillatype.Studio, S.L.

Semibold + Italics Weight 600 9 / 12 pt [ss01] alt. a; [ss02] alt. f; [s003] alt. i Track 0 ‰

Fra smelteovnene i Esbjerg til de højteknologiske laboratorier i Aalborg gennemgår den nordiske metalindustri i 2026 en drastisk transformation. Med et samlet investeringsbudget på over 4,2 mia. € markedsfører sektoren sig nu som spydspids for grøn omstilling. »Vi støber ikke længere blot jern; vi genopfinder selve krystallisationen,« udtaler dr. tech. M. Lindqvist fra Dansk Stålinstitut (DSI). Hvor traditionel udvinding udledte ca. 1,85 t CO_2 pr. ton fremstillet materiale, reducerer de nye elektrolysebaserede metoder — kombineret med brintteknologi — udledningen med 92,3% [se bilag A].

Sektorens nye standarder stiller dog tårnhøje krav til råstofkvaliteten. Anvendelsen af mikrolegeringer som titaniumdioxid (TiO_2) og vanadium-komplekser har øget trækstyrken i konstruktionsstål med ±35%, hvilket giver strukturel stabilitet selv ved extremum-temperaturer på ÷40 °C → +650 °C. Denne teknologiske renæssance © 2026 påvirker hele forsyningskæden: fra genanvendelse af skrot (§ 4 i Miljødirektivet) til fremstilling af præcisionskomponenter mærket 1ª klasse. Trods globale prisudsving & logistiske udfordringer forventes den samlede eksport at stige med 14,8% i 3. kvartal³, hvilket placerer regionen som en førende aktør på markedet.

Semibold + Italics
Weight 600
6 / 9,5 pt
Track +20 ‰

Antzinatik gizakiak ustiatu eta aztertu duen mineralen artean, piritak —burdin disulfuro kimikoak— leku guztiz berezia bete du Europako meatzaritzaren eta metalurgiaren historian zehar. Urrearen antzeko distira metaliko horixka dela eta, mendeetan zehar «erromualdoen urrea» *edo stultorum* aurum izenez ezagutu zen arruntki; hala ere, bere benetako balioa ez zegoen metalezko xarmandean, industria-ekoizpeneko gaitasun kimikoan baizik. Euskal Herriko meatzaritza-eskualdeetan, bereziki Bizkaiko zein Gipuzkoako meategi historikoetan, piritaren erauzketa eta tratamendua funtsezko atala izan zen XVI. eta XIX. mendeen arteko garapen ekonomiko eta sozialean.
Aro Modernoan zehar, piritaren garrantzia eksponentzialki handitu zen azido sulfurikoa lortzeko bide nagusi gisa. Europako Industria Iraultzan, errekuntza-labetan prozesatutako piritak azido sulfurikoaren munduko ekoizpenaren %62,4 baino gehiago hornitzen zuen; funtsezko lehengaia zen papergintzan, ehungintzan zein ongarri kimikoen fabrikazioan. Garai hartako agiri historikoen arabera —1882ko meatzaritza-txosten teknikoak lekuko—, meatzari greziar eta erromatarrek ere ezagutzen zuten piritaren propietate piroforikoa, hau da, altzairuaz jotzean txispak sortzeko gaitasun berezia (grekerazko *pyr* hitzetik dator bere izen klasikoa, «sua» esan nahi duena).
Iberiar Penintsulako hego-mendebaldeko faja piritikoan (Huelvako Tharsis eta Riotinto eremu nagusietan), ustiapenak tamaina monumentala hartu zuen XIX. Eskualde horretatik exportatutako mineralak Erresuma Batuko zein Alemaniako industria kimiko ahaltsua elikatu zituen hamarkadatan zehar. Bigarren Mundu Gerraren osteko garaietan, ordea, mineral honen erabilera zuzena maldan behera hasi zen: hidrokarburoetatik sulfuroa berreskuratzeko teknologia berriek (%85eko garbitasun-maila erraz gainditzen zutenak) piritaren errekuntza tradizionala ordezkatu zuten. Gaur egun, aztategi historiko horietako asko ondare industriala eta arkeologikoa aztertzeko ikergune nagusi bihurtu dira, meatzaritzaren bilakaera teknologikoa zein ingurumen-inpaktua sakontasunez ulertzeko bide argia eskainiz

Bold + Italics Weight 700 9 / 12 pt [onum] Oldstyle figures Track 0 ‰

Između 700 °C i 1300 °C, unutar Zemljine kore nastaje kompleksna silikatna talina — *magma* — čiji kemizam diktira dinamičku evoluciju vulkanskih sustava. Primarni sastav obuhvaća kompleksne okside, gdje SiO_2 predstavlja dominantnu komponentu (od ~45% u bazaltnim talinama do >75% u riolitnima), uz varijacije Al_2O_3, FeO, MgO i CaO. U teoretskom okviru fizikalno-kemijske petrologije, viskoznost taline directno ovisi o stupnju polimerizacije silikatnih tetraedara, što se opisuje omjerom NBO/T (nepremošteni kisici po tetraedarskom ionu).
Osim tekuće faze, magmatski sustav sadrži kristale u suspenziji te otopljene volatile (H_2O, CO_2, SO_2). Prema Bowenovom reakcijskom nizu — klasičnom modelu frakcijske kristalizacije — rani minerali poput olivina $(Mg,Fe)_2SiO_4$ i plagioklasa bogatog kalcijem postupno mijenjaju sastav preostale tekućine. Procjena tlaka mineralne ravnoteže, izražena u barometrijskim jedinicama (P ± 0,5 kbar), ukazuje na diferencijaciju pri dubinama *in situ* (§ 4, str. 112–115). Procesi poput asimilacije stijena-domaćina (engl. *crustal contamination*) i miješanja dviju talina → dodatno kompliciraju geokemijski potpis. Magmatski sklop® je dinamički fluid čija entalpija određuje stil erupcije: od efuzija do eksplozija.

Bold + Italics
Weight 700
6 / 9,5 pt
Track +20 ‰

A más de 5000 km bajo nuestros pies, la frontera del núcleo terrestre ha dejado de ser una esfera estática para revelarse como un escenario dinámico y repleto de enigmas. Recientes investigaciones publicadas por consorcios geofísicos internacionales —respaldadas por el análisis de ondas sísmicas de alta precisión registradas tras profundos sismos entre 1991 y 2023— afirman que el corazón de hierro de la Tierra presenta oscilaciones complejas en su velocidad de rotación. Este hallazgo desmiente la noción tradicional de un giro uniforme respecto al manto superior.
Según los datos recopilados por estaciones en Chile y Alaska, la densidad de la capa líquida exterior oscila de forma incesante, generando fricciones que alteran la intensidad del campo magnético planetario en un margen del 3,8%. *«Estamos presenciando una reestructuración de nuestras certezas sobre la geodinámica profunda»*, señaló la Dra. Elena Rostova durante el último Simposio de Geociencias en Ginebra. La investigadora enfatizó que la tasa de enfriamiento del núcleo interno no es homogénea: existen anomalías térmicas —zonas con variaciones de hasta ±200 °C— situadas bajo el océano Pacífico y el subcontinente asiático.
Asimismo, la cartografía digital realizada mediante tomografía de ondas *PKIKP* demuestra la presencia de estructuras heterogéneas de escala kilométrica. Estas «montañas invertidas» o protuberancias, compuestas por una aleación pesada de hierro, níquel y trazas de silicio (representan cerca del 2,5% de la masa total de la zona), podrían ser las responsables directas de las sutiles variaciones en la duración del día terrestre, estimadas en aproximadamente 0,15 milisegundos por década.
La comprensión de este motor telúrico resulta vital para prever la evolución de la magnetosfera & garantizar la estabilidad de las telecomunicaciones satelitales en las próximas centurias. Con un margen de error inferior al 0,5%, los nuevos modelos informáticos sugieren que la masa central experimenta ciclos de aceleración y desaceleración que duran entre 60 y 70 años aproximadamente.

© 2026 Arillatype.Studio, S.L.

Uppercase

A B C D E F G H I J K L M N O P Q R S T V W X Y Z

Uppercase extended

Á Ă Â Ä À Ā Ą Å Ã Æ Ǽ Ć Č Ç Ĉ Ċ Ď Đ Ð É Ě Ĕ Ê Ë Ė È Ē Ę
Ẽ Ə Ǵ Ğ Ĝ Ģ Ġ Ḡ Ħ Ĥ I Í Ǐ Î Ï İ Ì Ī Į Ĩ IJ Ĵ Ĵ Ķ Ĺ Ľ Ļ Ŀ Ł Ń
Ň Ņ Ñ Ŋ Ó Ǒ Ô Ö Ò Ő Ō Ø Ǿ Õ Œ Þ Ŕ Ř Ŗ Ś Š Ş Ŝ Ș ß Ŧ Ť Ţ
Ț Ú Ŭ Û Ü Ù Ű Ū Ų Ů Ũ Ẃ Ŵ Ẅ Ẁ Ý Ŷ Ÿ Ỳ Ỹ Ź Ž Ż '

Uppercase alternates

I Í Ǐ Î Ï İ Ì Ī Į Ĩ IJ

Uppercase ligatures

Ŀ L

Lowercase

a b c d e f g h i j k l m n o p q r s t v w x y z

Lowercase extended

á ă â ä à ā ą å ã æ ǽ ć č ç ĉ ċ ď đ ð é ě ĕ ê ë ė è ē ę ẽ ə ǵ
ğ ĝ ģ ġ ḡ ħ ĥ ı í ǐ î ï i ì ī į ĩ ij ȷ ĵ ĵ ķ ĸ ĺ ľ ļ ŀ ł ń ň ņ ñ ŋ ó ǒ ô ö ò ő
ō ø ǿ õ œ þ ŕ ř ŗ ś š ş ŝ ș ß ŧ ť ţ ț ú ŭ û ü ù ű ū ų ů ũ ẃ ŵ ẅ
ẁ ý ŷ ÿ ỳ ỹ ź ž ż '

Lowercase alternates

ɑ á ă â ä à ā ą å ã f i ɪ í ǐ î ï i ì ī į ĩ ij

Lowercase ligatures

fi ff fl ft ℍ

Alternate ligatures

ﬁ ﬀ ﬂ ft

Proportional numerals

0 1 2 3 4 5 6 7 8 9 0

Oldstyle numerals

0 1 2 3 4 5 6 7 8 9 0

Tabular numerals

0 1 2 3 4 5 6 7 8 9 0

Squared numbers solid

🯰 🯱 🯲 🯳 🯴 🯵 🯶 🯷 🯸 🯹

Squared numbers outline

🯰 🯱 🯲 🯳 🯴 🯵 🯶 🯷 🯸 🯹

Circled numbers solid

🯰 🯱 🯲 🯳 🯴 🯵 🯶 🯷 🯸 🯹

Circled numbers outline

⓪ ① ② ③ ④ ⑤ ⑥ ⑦ ⑧ ⑨

Subscripts & Superscripts

₀ ₁ ₂ ₃ ₄ ₅ ₆ ₇ ₈ ₉ ℍ ⁰ ¹ ² ³ ⁴ ⁵ ⁶ ⁷ ⁸ ⁹

Numerators & Denominators

₀ ₁ ₂ ₃ ₄ ₅ ₆ ₇ ₈ ₉ ℍ ⁰ ¹ ² ³ ⁴ ⁵ ⁶ ⁷ ⁸ ⁹

Pre-built fractions

½ ⅓ ⅔ ¼ ¾ ⅛ ⅜ ⅝ ⅞

Currency

€ £ ¢ $ ₺ ₱ ₽ ₹ ¥ ₪ ₿

Tabular currency

€ £ ¢ $ ₺ ₱ ₽ ₹ ¥ ₪ ₿

Punctuation & Symbols

. , : ; … ¡ ! ¿ ? / ¦ \ · ▪ - – — ⁓ - _ ( ) { } [ ] ⟨ ⟩ ⟪ ⟫ 【 】
‚ „ ‟ ″ ′ ′ ″ ' « » ‹ › @ & ¶ § # № © ® ℗ ℠ ℗ ™ † ‡ ⁎ a o

Case sensitive alternates

: ¡ ¿ · ▪ - – — ⁓ / ¦ \ ( ) { } [ ] ⟨ ⟩ ⟪ ⟫ 【 】 « » ‹ › @

Math symbols

+ − × ÷ = ≠ > < ≥ ≤ ± ≈ ~ ^ ° µ / % ‰

Arrows

↑ ↗ → ↘ ↓ ↙ ← ↖ ↔ ↕ ⟵ ⟶

Dingbats

○ ◉ ● ⬬ □ ☑ ☒ ▣ ■ ☐ ■ ▲ ▶ ▼ ◀ ◆ ★ ❤ ✓ ×

Diacritics

◌̀ ◌́ ◌̌ ◌̋ ◌̂ ◌̄ ◌̆ ◌̇ ◌̊ ◌̃ ◌̵
◌̦ ◌̧

© 2026 Arillatype.Studio, S.L.

Stylistic set 1
Alternate a
[ss01]

off
Täljamask

on
Täljamask

Stylistic set 2
Alternate f
[ss02]

off
Auffanggefäß

on
Auffanggefäß

Stylistic set 3
Alternate i
[ss03]

off
Kristallinis

on
Kristallinis

Stylistic set 4
Alternate I
[ss04]

off
Industrie Île

on
Industrie Île

Stylistic set 5
Circled numbers solid
[ss05]

off
308192

on
3 0 8 1 9 2

Stylistic set 6
Circled numbers outline
[ss06]

off
745263

on
7 4 5 2 6 3

Stylistic set 7
Squared numbers solid
[ss07]

off
910845

on
9 1 0 8 4 5

Stylistic set 8
Squared numbers outline
[ss08]

off
672310

on
6 7 2 3 1 0

Contextual alternates
Activated by default
[calt]

off
2/7 --> 42:3

on
2/7 ⟶ 42:3

Stylistic alternates
[salt]

off
Outokumpu®

on
Outokumpu®

Standard ligatures
Activated by default
[liga]

off
Al·loftàlmic

on
Al·loftàlmic

© 2026 Arillatype.Studio, S.L.

Ordinals
[ordn]

off
No. 8 / Pta. 2a

on
№ 8 / Pta. 2ª

Case-sensitive forms
[case]

off
H/F ¿ME? (YO)

on
H/F ¿ME? (YO)

Capital spacing
[cpsp]

off x
WIDE SPACE

on 1,05x
WIDE SPACE

Oldstyle figures
[onum]

off
123456789

on
123456789

Tabular figures
[tnum]

off
123456789₺

on
123456789₺

Proportional figures
[pnum]

off
123456789€

on
123456789€

Lining figures
[lnum]

off
123456789

on
123456789

Slashed zero
[zero]

off
0,00000001

on
0,00000001

Subscripts
[subs]

off
RoX8 H2SO4

on
RoX_8 H_2SO_4

Superscripts
[sups]

off
X2+Y5 kg/m3

on
X^2+Y^5 kg/m^3

Fractions
[frac]

off
123/45 78/90

on
123⁄45 78⁄90

© 2026 Arillatype.Studio, S.L.

Version

1.0 (September 2026)
Release: September 2026

File formats and sizes

Desktop/App	.otf	62–69kb
Web	.woff	33–39kb
	.woff2	30–35kb
Variable	.ttf	117–121kb
	.woff	52–55kb
	.woff2	44–46kb

Styles

18 (9 upright + 9 italic)

100 Air, Air Italic
200 Light, Light Italic
300 Retina, Retina Italic
400 Regular, Regular Italic
500 Medium, Medium Italic
600 Semibold, Semibold Italic
700 Bold, Bold Italic
800 Black, Black Italic
900 Super, Super Italic

Variable fonts

2 files: At Magmae VAR, At Magmae Italic VAR

Axis	Min.	Max.
Weight [wght]	100	900

Note: Variable fonts are included with the purchase of the full typeface family.

Character set

Latin Extended (598 glyphs per style), 320 languages supported:

Acheron, Achinese, Acholi, Achuar-Shiwiar, Afar, Afrikaans, Aguaruna, Alekano, Aleut, Algonquin, Amahuaca, Amarakaeri, Amis, Anaang, Andaandi, Anuta, Ao Naga, Apinayé, Aragonese, Arbëreshë Albanian, Arvanitika Albanian, Asháninka, Ashéninka Perené, Asu (Tanzania), Atayal, Balinese, Banjar, Bari, Basque, Batak Dairi, Batak Karo, Batak Mandailing, Batak Simalungun, Batak Toba, Bemba (Zambia), Bena (Tanzania), Bikol, Bislama, Borana-Arsi-Guji Oromo, Bosnian, Breton, Buginese, Candoshi-Shapra, Caquinte, Caribbean Hindustani, Cashibo-Cacataibo, Cashinahua, Catalan, Cebuano, Central Aymara, Central Kurdish, Chachi, Chamorro, Chavacano, Chiga, Chiltepec Chinantec, Chokwe, Chuukese, Cimbrian, Cofán, Congo Swahili, Cook Islands Māori, Cornish, Corsican, Creek, Crimean Tatar, Croatian, Czech, Danish, Dehu, Dutch, Eastern Arrernte, Eastern Oromo, Embu, English, Ese Ejja, Esperanto, Faroese, Fijian, Filipino, Finnish, French, Friulian, Gagauz, Galician, Ganda, Garifuna, Ga'anda, German, Gheg Albanian, Gilbertese, Gooniyandi, Gourmanchéma, Guadeloupean Creole French, Gusii, Haitian, Hani, Hiligaynon, Ho-Chunk, Hopi, Huastec, Hungarian, Icelandic, Ido, Iloko, Inari Sami, Indonesian, Interglossa, Interlingua, Interlingue, Irish, Istro Romanian, Italian, Ixcatlán Mazatec, Jamaican Creole English, Javanese, Jola-Fonyi, K'iche', Kabuverdianu, Kaingang, Kala Lagaw Ya, Kalaallisut, Kalenjin, Kamba (Kenya), Kaonde, Kara-Kalpak, Karelian, Kashubian, Kekchí, Kenzi/Mattokki, Khasi, Kikuyu, Kimbundu, Kinyarwanda, Kituba (DRC), Klingon, Kongo, Konzo, Kuanyama, Kven Finnish, Kölsch, Ladin, Ladino, Latgalian, Ligurian, Lithuanian, Lojban, Lombard, Low German, Lower Sorbian, Luba-Lulua, Lule Sami, Luo (Kenya and Tanzania), Luxembourgish, Macedo-Romanian, Makhuwa, Makhuwa-Meetto, Makonde, Makwe, Malagasy, Malaysian, Maltese, Mandinka, Mandjak, Mankanya, Manx, Maore Comorian, Maori, Mapudungun, Marshallese, Matsés, Mauritian Creole, Meriam Mir, Meru, Minangkabau, Mirandese, Mohawk, Montenegrin, Munsee, Murrinh-Patha, Mwani, Mískito, Naga Pidgin, Ndonga, Neapolitan, Ngazidja Comorian, Niuean, Nobiin, Nomatsiguenga, North Ndebele, Northern Kurdish, Northern Qiandong Miao, Northern Sami, Northern Uzbek, Northwestern Ojibwa, Norwegian, Novial, Nyanja, Nyankole, Occitan, Ojitlán Chinantec, Orma, Oroqen, Palauan, Paluan, Pampanga, Papantla Totonac, Papiamento, Pedi, Picard, Pichis Asháninka, Piemontese, Pijin, Pintupi-Luritja, Pipil, Pohnpeian, Polish, Portuguese, Potawatomi, Purepecha, Páez, Quechua, Romanian, Romansh, Rotokas, Rundi, Rwa, Samburu, Samoan, Sango, Sangu (Tanzania), Saramaccan, Sardinian, Scots, Scottish Gaelic, Sena, Seri, Seselwa Creole French, Shambala, Shawnee, Shipibo-Conibo, Shona, Shuar, Sicilian, Silesian, Slovak, Slovenian, Soga, Somali, Soninke, South Ndebele, Southern Aymara, Southern Qiandong Miao, Southern Sami, Southern Sotho, Spanish, Sranan Tongo, Standard Estonian, Standard Latvian, Standard Malay, Sundanese, Swahili, Swati, Swedish, Swiss German, Tagalog, Tahitian, Taita, Tedim Chin, Tetum, Tetun Dili, Tiv, Toba, Tojolabal, Tok Pisin, Tokelau, Toki Pona, Tonga (Tonga Islands), Tonga (Zambia), Tosk Albanian, Tsonga, Tswana, Tumbuka, Turkish, Turkmen, Tzeltal, Tzotzil, Uab Meto, Umbundu, Ume Sami, Upper Guinea Crioulo, Upper Sorbian, Venetian, Veps, Volapük, Võro, Walloon, Walser, Wangaaybuwan-Ngiyambaa, Waorani, Waray (Philippines), Warlpiri, Wayuu, Welsh, West Central Oromo, Western Abnaki, Western Frisian, Wik-Mungkan, Wiradjuri, Wolof, Xavánte, Xhosa, Yanesha', Yao, Yapese, Yindjibarndi, Yucateco, Zapotec, Zulu, Záparo.

PC installation guide

Right-click the font files and select "Install" from the drop-down menu. In order to access the newly installed fonts, you have to re-start any application you have been using. Note that this "Install" function will create a copy of the selected fonts in the system's "Fonts" folder.

Mac installation guide

To activate a font, simply drag the font files into the Fonts folder, which is located inside the Library folder here: Macintosh HD > Library > Fonts Alternatively you can install the fonts with Font Book, a free application with macOS. More information, on the support section of the Apple website.

Web font declaration

Upload .woff and .woff2 web fonts to your web server. Copy the code snippet example below into your CSS file to address your web fonts. Replace the example file URL with the appropriate path to the font files on your server.

```
@font-face {
     font-family: 'FontName';
     src: url('path/Font-Regular.woff2') format('woff2'),
          url('path/Font-Regular.woff') format('woff');
}
```

You can reference your font family in CSS font stacks by the name you gave it, in the same way you would for a system font.

```
html-element {
     font-family: 'FontName', sans-serif;
}
```


© 2026 Arillatype.Studio, S.L.

Designer

Pedro Arilla

Manufacturer

Arillatype.Studio, S.L.

Copyright

© 2026 Arillatype.Studio S.L. All rights reserved.

Trademark

At Magmæ is a trademark of Arillatype.Studio S.L. in Spain and/or other countries.

Licence

This font software is the property of Arillatype.Studio S.L. and is subject to the Arillatype.Studio® End User Licence Agreement. Please, review the licence agreement you received with the software. For additional information see https://arillatype.studio/licensing

Disclaimer

This document is intended for informational purposes only.

Studio

Arillatype.Studio, S.L.
Málaga, Spain
www.arillatype.studio
@arillatype

Contact

General	info@arillatype.studio
Licensing	licensing@arillatype.studio
Tech support	support@arillatype.studio
Custom commisions	custom@arillatype.studio

About

Experts in type, tech and visual precision. We blend creativity, craft and technology to create contemporary, charismatic typefaces. We help brands stand out through distinctive, high-performance typography.

Based in Málaga (Spain), we are an international team with decades of creative expertise and diverse backgrounds: from type to tech. We work with designers and agencies around the world to help brands express their voice through typography.

Services

From bespoke type to global-ready fonts. We deliver ownable branding through type by merging craft and strategy. Our typographic services bring your brand's voice to life with expert design and smart technology.

Custom type family creation
Modification of our existing typefaces
Language support extensions
Logo refinement and lettering
Consultancy on font tech
Trend research

Arillatype.Studio®

● For any enquiries please email us at info@arillatype.studio or subscribe to our newsletter for exclusive offers, fresh releases and studio stories

Instagram: @arillatype
Linkedin: @arillatype
Behance: @arillatype

© 2026 Arillatype.Studio, S.L.